

액츄에이터 응용을 위한 $Pb(Ni_{1/3}Nb_{2/3})O_3-PbZrO_3-PbTiO_3$ 세라믹스의 압전 특성에 미치는 Fe_2O_3 첨가 영향

Effects of Fe_2O_3 Addition on Piezoelectric Properties of $Pb(Ni_{1/3}Nb_{2/3})O_3-PbZrO_3-PbTiO_3$ Ceramics for Actuator Applications

임은경¹, 김창일¹, 이영진¹, 임종인¹, 백종후^{1,a}

(Eun-Kyeong Lim¹, Chang-Il Kim¹, Young-Jin Lee¹, Jong-In Im¹, and Jong-Hoo Paik^{1,a})

Abstract

In this paper, the dielectric and piezoelectric properties of $0.4Pb(Ni_{1/3}Nb_{2/3})O_3+0.6Pb(Zr_{0.405}Ti_{0.595})O_3+ x$ wt% Fe_2O_3 ceramics were investigated with the addition of Fe_2O_3 and sintering temperature. Dielectric constant and piezoelectric constant increased with amount of Fe_2O_3 up to 0.25 wt% and then decreased the further addition of Fe_2O_3 . It seems that Fe_2O_3 acts as a sintering aid at the sintering temperature of 1150 °C. By the addition of Fe_2O_3 , sintering temperature of the system was lowered from 1250 °C to 1100 °C. The piezoelectric properties showed the maximum value of $\epsilon_r = 4669$, $d_{33} = 810 (10^{-12} m/V)$, $k_p = 77 \%$, $Q_m = 55$, in $0.4Pb(Ni_{1/3}Nb_{2/3})O_3 - 0.6Pb(Zr_{0.405}Ti_{0.595})O_3 + 0.25$ wt% Fe_2O_3 ceramics having composition near the morphotropic phase boundary. The composition may be appropriate for actuator materials because of high piezoelectric constant and electromechanical coupling factor.

Key Words : Piezoelectric, Morphotropic phase boundary, Electromechanical coupling factor, Dielectric constant, Actuator

1. 서론

최근 압전 세라믹을 이용한 압전 액츄에이터 (piezoelectric actuator)는 크기가 작고, 진동과 충격에 대하여 강하며, 미세 변위제어가 용이하기 때문에 정밀한 제어가 요구되는 광학기기, 반도체 장치, 정밀기기, 소형 모터 등의 주요부품으로 각광을 받고 있다[1]. 이러한 압전 액츄에이터는 바이몰프형(bimorph type)과 적층형(multilayer type) 액츄에이터가 주로 사용되는데, 바이몰프형은 변위에 비해서 발생력이 작고, 적층형은 발생력에 비해 변위가 작은 단점을 가지고 있어서 이를 구조적으로 개선하고자 하는 연구가 진행되고 있다[2]. 이

러한 구조에는 Moonie, RAINBOW, Thunder, Inchworm 등이 있으며, 각각의 형태에 따라 장단점이 있어서, 이를 보완하기 위한 새로운 구조의 액츄에이터가 개발되고 있다[3,4]. 또한 액츄에이터의 변위특성 등을 개선하기 위한 방법으로 압전 액츄에이터의 압전특성, 즉 높은 압전정수와 전기기계 결합계수를 갖는 조성의 개발을 들 수 있으며, 여러 연구자에 의해서 조성연구가 이루어졌다. 대표적인 조성을 살펴보면 $Pb(Mg_{1/3}Nb_{2/3})O_3 - PbTiO_3 - PbZrO_3$, $Pb(Ni_{1/3}Nb_{2/3})O_3 - PbTiO_3 - PbZrO_3$, $Pb(Zn_{1/3}Nb_{2/3})O_3 - PbTiO_3 - PbZrO_3$ 등이 있으며 [5,6], 여기에 특성을 향상시키기 위해서 Fe_2O_3 , NiO, CoO로 대표되는 acceptor dopant 나 La_2O_3 , Bi_2O_3 로 대표되는 donor dopant를 첨가하는 연구가 이루어지고 있다[7,8].

최근에 연구되고 있는 진동모터, Harvesting system, valve system과 같은 대변위 압전 액츄에이터를 구현하기 위해서는 변위가 크고 발생력이 큰 압전 액츄에이터의 개발 필요성이 대두되고 있다.

1. 요업기술원 전자부품팀

(서울시 금천구 가산동 233-5)

a. Corresponding Author : jhpaik@kicet.re.kr

접수일자 : 2005. 10. 7

1차 심사 : 2005. 11. 3

심사완료 : 2006. 9. 15

따라서 본 연구에서는 변위 확대형 액츄에이터를 제작하기 위해서 압전특성이 우수한 $0.4\text{Pb}(\text{Ni}_{1/3}\text{Nb}_{2/3})\text{O}_3 - 0.6\text{Pb}(\text{Zr}_{0.405}\text{Ti}_{0.595})\text{O}_3$ (PNN-PZ-PT) 시스템을 기본 조성으로 하였다[9]. 이 조성에 소결 온도를 낮추고 압전정수와 전기기계결합계수를 증가시키기 위해서 acceptor dopant인 Fe_2O_3 를 첨가제로 사용하여 첨가량과 소결온도에 따른 결정구조, 유전 및 압전 특성에 대하여 조사하였다.

2. 실험

본 연구에서 출발물질로 사용한 분말원료는 PbO (Aldrich, 99.9 %), Nb_2O_5 (Aldrich, 99.9 %), NiO (고순도 화학, 99.9 %), ZrO_2 (Aldrich, 99 %), TiO_2 (고순도 화학, 99.9 %), Fe_2O_3 (Aldrich, 99 %)이며, 전자 저울을 사용하여 원료분말을 ± 0.1 mg의 오차범위에서 정밀하게 평량하였다. 평량한 분말의 혼합은 HDPE jar에서 지르코니아 볼을 사용하여 습식으로 36시간 하였다. 혼합된 시료는 $100\text{--}150\text{ }^\circ\text{C}$ 에서 건조한 후, $850\text{ }^\circ\text{C}$ 에서 2시간 하소하였다. 하소분말은 지르코니아 볼을 사용하여 습식으로 48시간을 분쇄하였다. 충분히 건조시킨 후 이를 일축 성형하여 지름 13 mm인 disc 시편을 만들었다. 성형시편들은 $1100\text{ }^\circ\text{C} - 1200\text{ }^\circ\text{C}$ 에서 2시간동안 소결하였으며, 이때 승온속도는 분당 $5\text{ }^\circ\text{C}$ 로 하였다. 소결된 시편은 silver paste를 이용하여 $600\text{ }^\circ\text{C}$ 에서 소부하여 형성하였으며, 전극 처리된 시편은 $120\text{ }^\circ\text{C}$ 의 실리콘 절연유 내에서 2.5 KV/mm 의 직류 전류계를 15분 인가하여 분극처리하였다. 소결시편의 상 합성과 결정구조 등은 XRD(Mac Science KFX-987228-SE)로 분석하였으며, 시편의 미세구조는 주사전자현미경(SEM-Topcon SM-300)과 광학현미경(Olympus SZ-60)으로 분석하였다.

전기적 특성은 IRE standard에 근거하여[9] Impedance Analyzer(Agilent, 4294A)를 이용하여 공진-반공진법으로 측정, 계산하였으며 압전정수(d_{33})는 Piezo d_{33} Tester(American Piezo Ceramics, Pennebaker Model 8000)로 측정하였다.

3. 결과 및 고찰

그림 1은 $0.4\text{Pb}(\text{Ni}_{1/3}\text{Nb}_{2/3})\text{O}_3 - 0.6\text{Pb}(\text{Zr}_{0.405}\text{Ti}_{0.595})\text{O}_3 + x$ wt% Fe_2O_3 ($x = 0, 0.25, 0.5, 0.75, 1.0$) 조성에서의 Fe_2O_3 첨가량에 따른 X-선 회절 결과를 나타내었

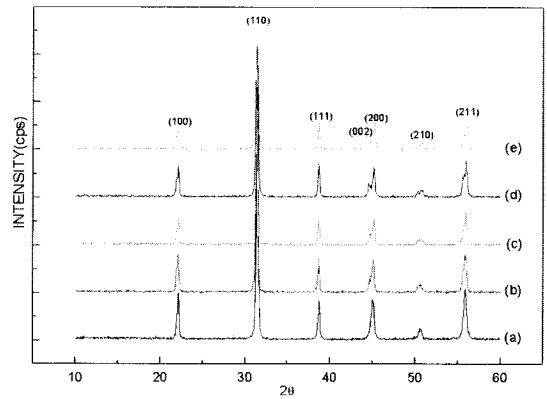


그림 1. $1150\text{ }^\circ\text{C}$ 에서 2시간 소결한 $0.4\text{Pb}(\text{Ni}_{1/3}\text{Nb}_{2/3})\text{O}_3 - 0.6\text{Pb}(\text{Zr}_{0.405}\text{Ti}_{0.595})\text{O}_3 + x$ wt% Fe_2O_3 의 X선 회절패턴, (a) $x=0$, (b) $x=0.25$, (c) $x=0.5$, (d) $x=0.75$, (e) $x=1.0$.

Fig. 1. X-ray diffraction patterns of $0.4\text{Pb}(\text{Ni}_{1/3}\text{Nb}_{2/3})\text{O}_3 - 0.6\text{Pb}(\text{Zr}_{0.405}\text{Ti}_{0.595})\text{O}_3 + x$ wt% Fe_2O_3 sintered at $1150\text{ }^\circ\text{C}$ for 2 hrs, (a) $x=0$, (b) $x=0.25$, (c) $x=0.5$, (d) $x=0.75$, (e) $x=1.0$.

다. Fe_2O_3 가 첨가된 전체 조성에서 첨가량이 증가함에 따라 (110)기본 회절선(Fundamental reflection)이 순차적으로 이동하기 때문에 Fe_2O_3 가 PNN-PZ세라믹 격자에 고용되어 있음을 알 수 있다. 첨가된 Fe 이온은 ABO_3 페로브스카이트 구조에서 이온반경과 원자가 보상에 의해서 B-site에 치환된다.

삼방정(rhombohedral) 구조와 정방정(tetragonal) 구조를 나타내는 X선 회절 peak가 $2\theta=45^\circ$ 부근에서 존재하며, 정방정 구조는 (200)과 (002)면이 공존하며, 삼방정 구조는 (200)면만 존재하는데, 이들 회절 peak에 의하여 상경계 지점을 판단할 수 있다. 그림에서 $2\theta=45^\circ$ 부근의 삼방정구조의 (200)면과 정방정(tetragonal) 구조의 (200),(002)면을 살펴보면, x , 즉 Fe_2O_3 첨가량이 증가함에 따라 분리된 회절선이 나타나는 것으로 보아 Fe_2O_3 첨가에 의해 정방정 구조로 전이하는 것을 알 수 있다. 본 실험결과를 보면 $x = 0.25$ 에서 0.5 조성부근이 상경계(Morphotropic Phase Boundary) 조성임을 알 수 있으며, Fe_2O_3 의 미량 첨가에 의해서도 결정구조가 현저히 변화하는 것을 확인하였다. 또한 특성에 영향을 미치는 것으로 알려져 있는 2차 상인 pyrochlore ($2\theta=28^\circ$ 부근에서 관찰) 상은 전체 조성에서 관찰되지 않았다.

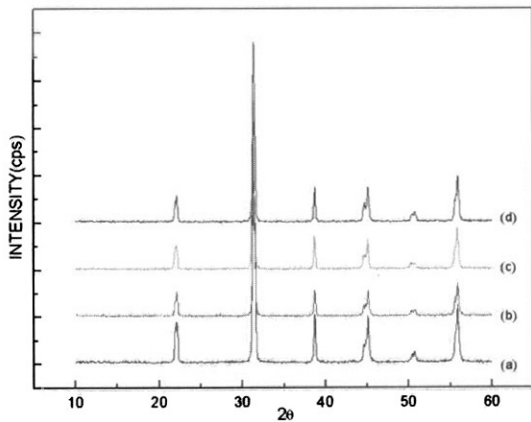


그림 2. $0.4\text{Pb}(\text{Ni}_{1/3}\text{Nb}_{2/3})\text{O}_3-0.6\text{Pb}(\text{Zr}_{0.405}\text{Ti}_{0.595})\text{O}_3 + 0.5 \text{ wt}\% \text{Fe}_2\text{O}_3$ 조성의 소결온도에 따른 X선 회절패턴, (a) 1100 °C, (b) 1150 °C, (c) 1200 °C, (d) 1250 °C.

Fig. 2. X-ray diffraction patterns of $0.4\text{Pb}(\text{Ni}_{1/3}\text{Nb}_{2/3})\text{O}_3 - 0.6\text{Pb}(\text{Zr}_{0.405}\text{Ti}_{0.595})\text{O}_3 + 0.5 \text{ wt}\% \text{Fe}_2\text{O}_3$ sintered at (a) 1100 °C, (b) 1150 °C, (c) 1200 °C, (d) 1250 °C.

그림 2는 $0.4\text{Pb}(\text{Ni}_{1/3}\text{Nb}_{2/3})\text{O}_3-0.6\text{Pb}(\text{Zr}_{0.405}\text{Ti}_{0.595})\text{O}_3 + 0.5 \text{ wt}\% \text{Fe}_2\text{O}_3$ 조성에서의 소결온도에 따른 X-선 회절 결과를 나타내었다. 1100 °C에서 2시간 소결한 조성에서도 이차상이 없는 페로브스카이트 상을 합성할 수 있었으며 이는 Fe_2O_3 가 소결조제로 작용하였기 때문으로 생각된다. 소결 온도에 따라 삼방정 (rhombohedral) 구조와 정방정 (tetragonal) 구조의 공존 범위가 달라지는 것을 알 수 있으며, 소결온도가 증가함에 따라 (200)과 (002)면의 분리된 회절선이 더 강하게 나타나는 것으로 보아 정방정 구조로 상전이가 일어나는 것을 알 수 있다. 이러한 결과는 소결온도가 결정 구조의 변화에 영향을 받는 유전상수 등의 압전 특성에 영향을 미칠 것을 의미한다.

그림 3은 1150 °C에서 2시간 소결한 $0.4\text{Pb}(\text{Ni}_{1/3}\text{Nb}_{2/3})\text{O}_3 - 0.6\text{Pb}(\text{Zr}_{0.405}\text{Ti}_{0.595})\text{O}_3 + x \text{ wt}\% \text{Fe}_2\text{O}_3$ 조성에서의 Fe_2O_3 첨가량에 따른 주사전자 현미경 (SEM) 사진이다. 그림에 나타난 바와 같이 Fe가 첨가하지 않은 조성 ($x = 0$)에서는 전체적으로 평균 입경이 2 μm 정도로 상대적으로 작게 나타났으나, Fe가 첨가된 조성에서는 Fe_2O_3 첨가량이 증가함에 따라 입경이 증가하는 경향을 보이고 있다. 전체적으로 평균 3-5 μm의 일정한 결정립을 가

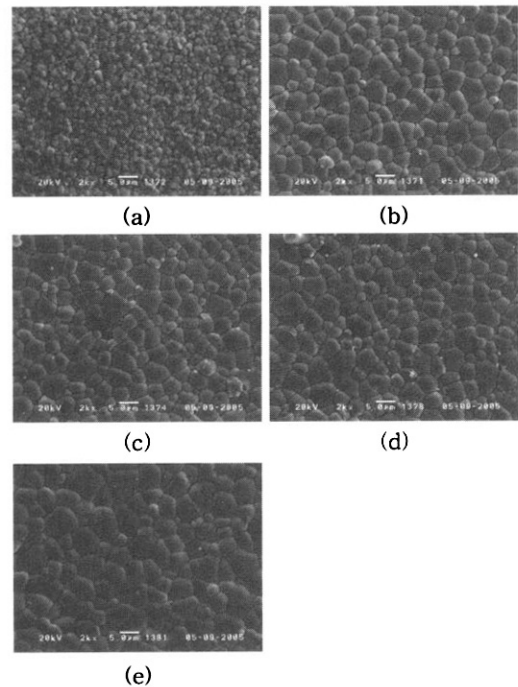


그림 3. $0.4\text{Pb}(\text{Ni}_{1/3}\text{Nb}_{2/3})\text{O}_3-0.6\text{Pb}(\text{Zr}_{0.405}\text{Ti}_{0.595})\text{O}_3 + x \text{ wt}\% \text{Fe}_2\text{O}_3$ 의 SEM 사진, (a) $x=0$, (b) $x=0.25$, (c) $x=0.5$, (d) $x=0.75$, (e) $x=1.0$.

Fig. 3. SEM micrographs of $0.4\text{Pb}(\text{Ni}_{1/3}\text{Nb}_{2/3})\text{O}_3 - 0.6\text{Pb}(\text{Zr}_{0.405}\text{Ti}_{0.595})\text{O}_3 + x \text{ wt}\% \text{Fe}_2\text{O}_3$, (a) $x=0$, (b) $x=0.25$, (c) $x=0.5$, (d) $x=0.75$, (e) $x=1.0$.

지고 있으며, 입도분포도 일정하게 나타난 것을 알 수 있다. 이것은 Fe_2O_3 가 소결조제로 작용하여 결정립의 성장을 유도한 것으로 생각된다.

그림 4는 1150 °C에서 2시간 소결한 $0.4\text{Pb}(\text{Ni}_{1/3}\text{Nb}_{2/3})\text{O}_3 - 0.6\text{Pb}(\text{Zr}_{0.405}\text{Ti}_{0.595})\text{O}_3 + x \text{ wt}\% \text{Fe}_2\text{O}_3$ 조성에서의 Fe_2O_3 첨가량과 소결온도에 따른 밀도를 나타내었다. Fe가 첨가하지 않은 조성 ($x = 0$)에서는 1200 °C 소결시편에서 8.22 g/cm³의 최대특성이 나타났으나, Fe_2O_3 첨가량에 밀도가 선형적으로 감소하는 경향을 나타내었다. 1150 °C 소결시편에서는 0.25 wt% 조성에서 8.16 g/cm³로 최대 값을 보이고 그 이후 서서히 감소하는 특성을 나타내었다. 또한 Fe_2O_3 첨가시편의 경우 오히려 1150 °C에서 소결한 시편의 밀도가 1200 °C의 시편보다 더 높은 값을 나타내었고 1100 °C에서는

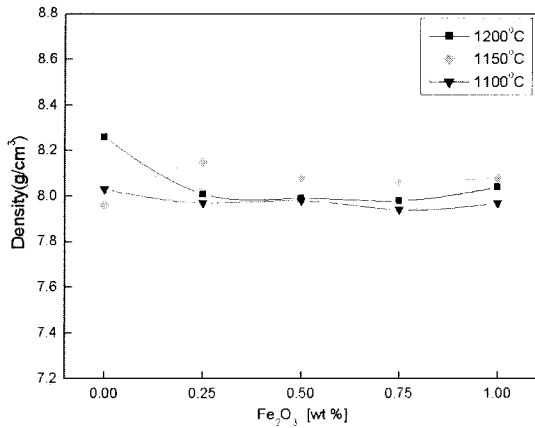


그림 4. Fe₂O₃ 첨가량과 소결온도에 따른 밀도.
Fig. 4. The bulk density with the Fe₂O₃ addition and sintering temperature.

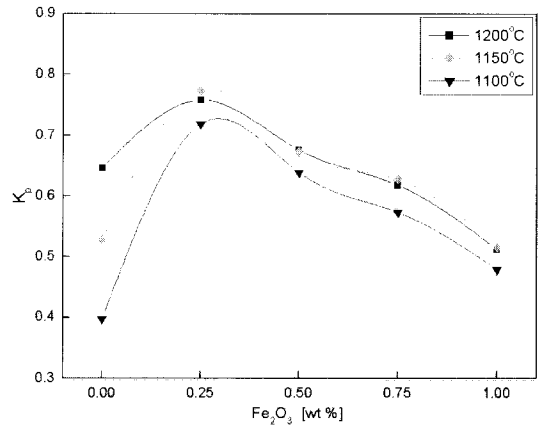


그림 6. Fe₂O₃ 첨가량과 소결온도에 따른 전기기계결합계수.
Fig. 6. Electromechanical coupling factor(K_p) with the Fe₂O₃ addition and sintering temperature.

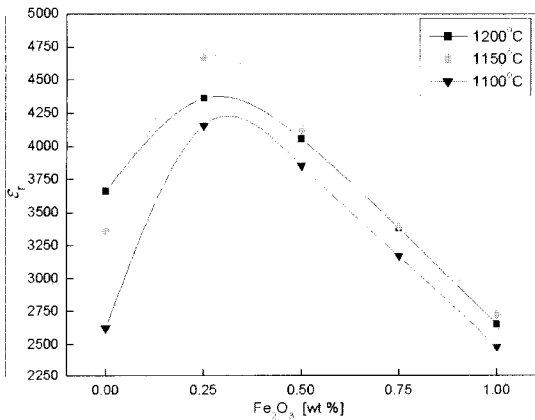


그림 5. Fe₂O₃ 첨가량과 소결온도에 따른 유전상수.
Fig. 5. The dielectric constant(ε_r) with the Fe₂O₃ addition and sintering temperature.

소결밀도가 오히려 감소되었기 때문에 Fe₂O₃ 첨가 조성에서는 1150 °C의 소결온도가 적합한 소결 온도임을 알 수 있다.

그림 5는 Fe₂O₃ 첨가량과 소결온도에 따른 유전상수를 나타내었다. Fe₂O₃ 첨가량이 0.25 wt% 조성에서 급격히 증가하였다가 그 이상 조성에서 감소하였으며, 전체 소결온도 영역에서 같은 경향을 보여 주고 있다.

각 소결온도에서의 유전상수의 최대값은 4363, 4669, 4160이며, 1150 °C에서 가장 큰 값을 나타내

었다. 유전상수의 증가는 결정구조의 이방성 증가에 따른 분극 값의 증대와 유전상수 값이 최대가 되는 상경계 영역(Morphotropic Phase Boundary)이기 때문으로 보여 진다[10]. 그리고 그 이상의 첨가량에서 나타나는 유전상수의 감소는 결정구조에서 볼 수 있듯이 유전특성이 최대가 되는 상경계 영역에서 벗어나기 때문으로 보이며, Fe₂O₃ 첨가량 증가에 의한 억셉터 효과(Acceptor effect) 때문으로 생각된다.

그림 6은 Fe₂O₃ 첨가량과 소결온도에 따른 전기기계결합계수(k_p)를 나타낸 것이다. 전기기계결합계수는 Fe₂O₃ 첨가량이 0.25 wt% 조성에서 급격히 증가하였다가 그 이상 조성에서 완만하게 감소하는 경향을 나타내고 있다. 각 소결온도에서의 전기기계결합계수의 최대 값은 0.758, 0.774, 0.719이며, 그림 5의 유전상수의 변화와 일치함을 알 수 있다. 이러한 전기기계결합계수의 증가는 Fe₂O₃ 첨가가 결정구조의 이방성 증가에 따른 유전상수의 증가와 결정구조변화에 의한 것으로 생각된다[11]. 또한 Fe₂O₃ 첨가량이 0.25 wt% 조성부근, 즉 분극 가능한 축이 공존하는 상경계 영역부근에서 분극 특성이 향상됨에 따라 전기기계결합계수가 증가한 것으로 보이며 1150 °C에서 소결된 0.25 wt% 조성에서 0.774의 최대 값을 나타내었다.

그림 7은 Fe₂O₃ 첨가량과 소결온도에 따른 기계적 품질계수(Q_m)를 나타낸 것이다. 기계적 품질계

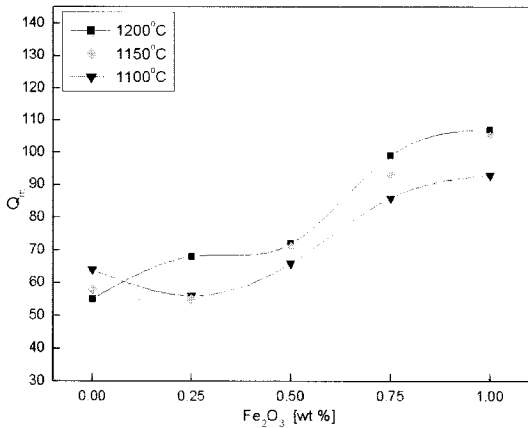


그림 7. Fe₂O₃ 첨가량과 소결온도에 따른 기계적 품질계수.

Fig. 7. Mechanical quality factor (Q_m) with the Fe₂O₃ addition and sintering temperature.

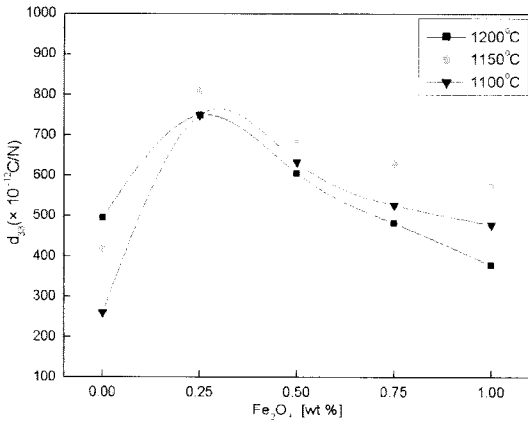


그림 8. Fe₂O₃ 첨가량과 소결온도에 따른 압전정수(d₃₃).

Fig. 8. Piezoelectric constant(d₃₃) with the Fe₂O₃ addition and sintering temperature.

수(Q_m)는 Fe₂O₃ 첨가량이 증가함에 따라 증가하는 경향을 보이고 있다. 이것은 Fe₂O₃ 첨가에 의하여 전하 보상을 위하여 생성된 산소 공공(vacancy)가 도메인벽(Domain wall)의 이동을 억제하기 때문에 Q_m값이 증가하는 것으로 보여진다[12]. 또한 소결온도가 증가함에 따라 기계적 품질계수(Q_m)는 증가하는 경향을 보여주고 있으며, 전체적으로 50에서 100정도의 값을 나타내었다.

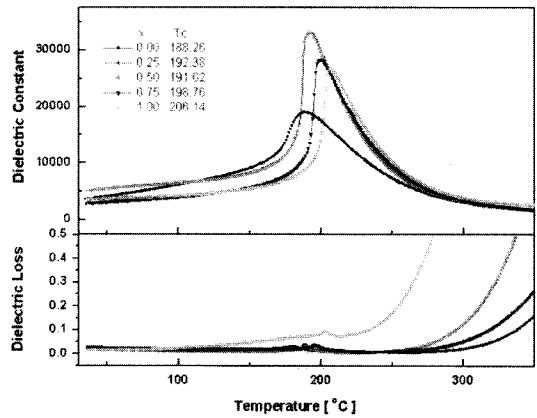


그림 9. Fe₂O₃ 첨가량과 온도에 따른 유전상수 및 유전손실율.

Fig. 9. Variation of the (a) Dielectric constant and (b) Dielectric loss with temperature of the 0.4 Pb (Ni_{1/3} Nb_{2/3}) O₃ + 0.6 Pb (Zr_{0.405} Ti_{0.595})O₃ + x wt% Fe₂O₃ sintered at 1150 °C for 2 hrs. (1 kHz).

그림 8은 Fe₂O₃ 첨가량과 소결온도에 따른 압전정수(d₃₃)를 나타낸 것이다. Fe₂O₃ 첨가량이 0.25인 조성에서 최대값을 나타내었다가 그 이상 조성에서 다시 완만하게 감소하는 경향을 보이고 있으며 각 소결온도에서의 압전정수의 최대값은 750, 810, 750(×10⁻¹²C/N)이었다.

압전상수(d₃₃)는 전기기계결합계수(k_p)와 유전상수에 의해 주로 결정되어지는데, 그림 5와 그림 6에 나타난 Fe₂O₃ 첨가량에 따른 유전상수와 전기기계결합계수(k_p)의 변화와 유사한 형태를 보여주고 있으며, 이것은 이방성 증가에 따른 분극 값의 증대와 상경계 영역에서의 결정구조 변화등의 복합적인 효과에 위해서 나타난 결과로 생각된다[13]. 압전정수(d₃₃)는 1150 °C에서 소결한 0.25 wt% 조성에서 810(×10⁻¹²C/N)의 가장 큰 값을 얻었다.

그림 9는 Fe₂O₃ 첨가량에 따른 유전상수와 유전손실의 온도의존성을 나타낸다. Fe₂O₃ 첨가량이 증가함에 따라 Curie 온도는 증가하였으며, 1.0 wt % 첨가조성에서 206 °C의 비교적 높은 값을 나타내었다.

표 1에 Fe₂O₃ 첨가량과 소결온도에 따른 압전 및 유전특성을 나타내었다.

표 1. 0.4Pb(Ni_{1/3}Nb_{2/3})O₃-0.6Pb(Zr_{0.405}Ti_{0.595})O₃ + x wt% Fe₂O₃ 세라믹스의 압전 특성.

Table 1. Piezoelectric properties of 0.4Pb(Ni_{1/3}Nb_{2/3})O₃ -0.6Pb(Zr_{0.405}Ti_{0.595})O₃ + x wt% Fe₂O₃ ceramics.

소결 온도(°C)	x	d ₃₃ (10 ⁻¹² m/V)	e ^T ₃₃ /e ₀	kp	tan δ (%)	Q _m
1200	0	496	3665	0.646	2.7	55
	0.25	750	4363	0.758	2.1	68
	0.5	606	4056	0.676	1.7	72
	0.75	482	3381	0.618	2.1	99
	1	378	2652	0.512	2.9	107
1150	0	420	3364	0.528	3	58
	0.25	810	4669	0.774	2.1	55
	0.5	690	4123	0.673	1.7	71
	0.75	630	3399	0.628	1.9	93
	1	575	2727	0.516	2.7	105
1100	0	260	2624	0.397	3	64
	0.25	750	4160	0.719	2.3	56
	0.5	634	3855	0.639	1.9	66
	0.75	527	3173	0.573	1.7	86
	1	477	2482	0.479	1.9	93

4. 결론

본 연구에서 대변위용 압전 액츄에이터를 개발하기 위하여 0.4Pb(Ni_{1/3}Nb_{2/3})O₃ -0.6Pb(Zr_{0.405}Ti_{0.595})O₃ + x wt% Fe₂O₃ 조성에서 Fe₂O₃ 첨가량을 0 - 1 wt%로 변화시키고 1100 °C ~ 1200 °C의 소결온도에서 압전, 유전특성의 변화를 살펴보았으며, 그 결과를 종합해 보면 다음과 같다.

1. Fe₂O₃ 첨가량이 0.25 wt%일 때 최대 유전상수 값 4669 이 나타났으며, 그 이상의 첨가에서는 감소하였다.
2. Fe₂O₃ 첨가량 증가에 따라 삼방정(rhombohedral) 구조에서 정방정(tetragonal)구조로 상전이가 일어나는 것을 확인하였다.
3. Fe₂O₃ 첨가에 의해서 소결온도를 1100 °C로 낮출 수 있었으며, 소결온도에 따라 상경계(Morphotropic Phase Boundary)가 달라지는 것을 확인하였다.
4. 1150 °C에서 2시간 소결한 0.4Pb(Ni_{1/3}Nb_{2/3})O₃ - 0.6Pb(Zr_{0.41}Ti_{0.59})O₃ + 0.25 wt% Fe₂O₃ 조성에서

최대의 전기기계결합계수(K_p) = 77 %, 압전정수(d₃₃) = 810 (10⁻¹²C/N)을 얻었으며, 높은 압전정수가 요구되는 대변위 압전 액츄에이터에 응용될 수 있는 조성임을 확인하였다.

참고 문헌

- [1] K. Uchino, "Piezoelectric and electrostrictive actuator", Proc. the 6th IEEE ISAF, p. 610, 1986.
- [2] S. Takahashi, "Longitudinal mode multilayer piezoceramic actuator", Cerm. Bull., Vol. 65, No. 88, p. 1156, 1986.
- [3] 최성영, 김진수, "심벌 액츄에이터의 제작과 변위 특성의 분석", 전기전자재료학회논문지, 12권, 5호, p. 401, 1999.
- [4] Q.-M. Wand and L. Eric Cross, "Tip deflection and blicking force of soft PZT-based cantilever rainbow actuators", J. Am. Ceram. Soc., Vol. 82, No. 1, p. 103, 1999.
- [5] H. Ohuchi and m. Nishida, "On the origin if piezoelectric activity maximum in Pb(Mg_{1/3}Nb_{2/3})O₃ -PbTiO₃-PbZrO₃ Ceramics", Ferroelectrics, Vol. 169, p. 309, 1995.
- [6] H. Yamaguchi, "Behavior of electric-field-induced strain in PT-PZ-PMN ceramics", J. Am. Ceram. Soc., Vol. 82, No. 6, p. 1459, 1999.
- [7] 박정호, 김철수, 김성근, 이상렬, "Cr₂O₃이 첨가된 PNN-PZT 압전 세라믹스에서의 미세구조 및 특성", 한국전기전자재료학회 2001학계 학술대회논문집, p. 972, 2001.
- [8] C. Tanasoiu, E. Dimitriu, and C. Miclea, "Effect of Nb, Li doping on structure and piezoelectric properties of PZT type ceramics", J. of the Euro. Ceram. Soc., Vol. 19, p. 1187, 1999.
- [9] 백종후, 임은경, 이미재, 지미정, 최병현, "Processing and properties of RAINBOW piezoelectric actuator" 한국전기전자재료학회 2004학계학술대회논문집, 5권, 2호, p. 569, 2004.
- [10] EMAS-6001, 일본전자재료공학회, 1977.
- [11] 김규수, 윤광희, 윤현상, 홍재일, 류주현, 박창엽, "전왜 액츄에이터용 PBZT 세라믹스의 WO₃ 첨가에 따른 특성", 전기전자재료학회 논문지, 10권, 9호, p. 909, 1997.

- [12] K. Kakegawa, J. Mohri, S. Shirasaki, and K. Takahashi, "Sluggish transition between tetragonal and rhombohedral of PZT prepared by application of electric field", J. Am. Ceram. Soc., Vol. 65, No. 10, p. 515, 1982.
- [13] T. Kamiya, T. Suzuki, T. Tsurumi, and M. Daimon, "Effects of manganese addition on piezoelectric properties of $\text{Pb}(\text{Zr}_{0.5}\text{Ti}_{0.5})\text{O}_3$ ", Jpn. J. Appl. Phys., Vol. 31, p. 3058, 1992.
- [14] B. Jaffe, W. R. Cook, and H. Jaffe, "Piezoelectric Ceramics", Academic Press, p. 160, 1971.